

## (449) エポキシ粉体塗装の塗膜硬化率と曲げ性能

東京樹脂ライニング工業株君津工場 ○船山嘉実 和田守弘  
新日本製鐵株君津製鐵所 大槻富有彦 田中満生

## 1. 緒言

埋設用鋼管の外面防食として用いられるエポキシ粉体塗装の塗膜の硬化状態を判定する方法は、種々提案されてきたが、実ラインにおける後熱炉を設計するにあたり、十分な条件を提示できる方法がなかった。今回、実ラインにおいて、任意の温度履歴を持つエポキシ塗膜の硬化状態を判定する方法として塗膜硬化率を定義し、適正な硬化条件を設定することができたので報告する。

## 2. 実験方法

- (1) 供試材 鋼板 (50 mm × 150 mm × 0.6 mm t 試験パネル)  
塗料 (SCOTCHKOTE #206N 米3M社)

- (2) サンプル作製手順 試験パネル、及び熱延鋼板を同時に240°Cに予熱一静電吹き付け塗装 (300~350 μ) → 試験パネルを後熱炉用電気炉にて一定温度、一定時間キュア → 水冷却  
(3) 評価試験 常温曲げテスト (曲げ治具半径8 mm、曲げ角度5.8°) を行ない、クラックの有無を観察

## 3. 実験結果

実験の結果、後熱温度-後熱時間の関係に対する、曲げ試験結果の良好なる範囲はFig.1の通りとなつた。

## (1) 後熱温度 VS 時間カーブと塗膜硬化の検討

塗膜が、例えは240°Cで1分、その後220°Cで3分硬化されたとするとFig.1の下側限界線より、最初35%、次に75%、計110%の硬化となり、この塗膜は十分硬化したと考えられる。このことを基礎に塗膜硬化率ψを設定し、その有効性を検証した。

## (2) 塗膜硬化率ψの設定

Fig.1の下側限界線を(A),(B),(C)の式であらわす。この時、後熱曲線T=g(n)に対して塗膜硬化率ψは、次のようになる。

$$\psi = \frac{1}{a_1} \int_{\eta_1}^{\eta_2} \left\{ g(n) - b_1 \right\} d\eta + \frac{1}{a_2} \int_{\eta_2}^{\eta_3} \left\{ g(n) - b_2 \right\} d\eta + \frac{1}{a_3} \int_{\eta_3}^{\eta_4} \left\{ g(n) - b_3 \right\} d\eta \dots \quad (D)$$

(D) 式の計算の結果、 $\psi \geq 1$ であれば、塗膜は十分硬化していると判断できる。

## (3) 塗膜硬化率ψの有効性検証

各種の後熱カーブで硬化させた試験パネルを作製し、曲げ試験を行なつた。Fig.2にその例を示す。その結果、3M #206Nの塗料に関して、塗膜硬化率計算結果と曲げ試験結果との対応は検証された。また、他の銘柄塗料についても確認されている。

## 4. 結言

任意の温度履歴を持つエポキシ塗膜の硬化状態を予想できる塗膜硬化率の算出法を見い出した。これにより、エポキシ粉体塗装実ラインにて、実操業時の後熱条件の設定が容易となつた。

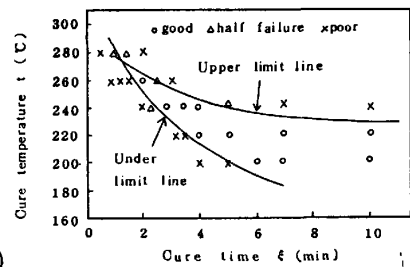


Fig. 1 Curing condition and bendability.

$$t = \frac{a_1}{\xi} + b_1 \quad (240 \leq t \leq 260) \dots \quad (A)$$

$$t = \frac{a_2}{\xi} + b_2 \quad (220 \leq t \leq 260) \dots \quad (B)$$

$$t = \frac{b_3}{\xi} + b_3 \quad (200 \leq t \leq 220) \dots \quad (C)$$

$$a_1 = 117, b_1 = 195, a_2 = 165, b_2 = 177, a_3 = 220, b_3 = 162$$

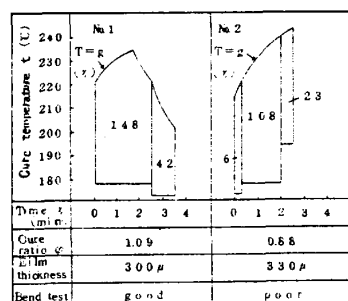


Fig. 2 Curing ratio and bendability.